

# 爆破による岩盤変動の電気的測定

京都大学 吉住永三郎・鹿島建設 佐藤忠五郎

## 1. 緒 言

トンネル掘削やベンチカット発破や坑道発破にともなう爆破振動の基礎岩盤におよぼす爆破効果の解析は興味ある問題であるが、一般に困難である。その理由は地下構造が均質でないために、爆破現象が非常に複雑になるためである。この問題について筆者らは昭和37年7月に岡山県牛窓町前島の採石工事現場において、坑道発破にともなう爆破振動を電気的に測定する新しい方法を考案し、試験的に採用した。これらの結果によつて、測定方法を改善し、昭和40年には関西電力木曾発電所新設工事5号導水路トンネルおよび国鉄中央本線線増工事単線形トンネルにおいて、トンネル掘削における爆破振動の測定を行ない、昭和41年には電源開発株式会社長野ダムにおいて、197トンの大発破における爆破振動の測定を行なつた。この報告ではこれらの測定結果の一部を紹介する。

## 2. 爆破にともなう電気的現象

地下構造内において爆破を行なう場合に、今までの実験結果によれば、

- (1) 爆破振動によつて地下構造内の電気定数が変化すること、および
- (2) 爆破によつて電磁波や電位が発生すること、

が明らかになつた。

これらの電気的現象を利用すれば、たとえば(1)の地下構造内の電気定数の変化を利用して、爆破によつて影響を受けた地下構造の立体的な変動を測定することができ、また(2)の電磁波を利用して、発破が完爆しているかどうかを確認することができ、さらに電磁波と爆破振動波との相対的な速度差より地下構造の変動を解析することができる。

## 3. 比抵抗と間隙率との関係

地下構造内の電気定数としては一般に比抵抗（導電率）、誘電率および透磁率が考えられるが、この報告では比抵抗のみについて考える。一般に地下構造内の物理的性質を数式的に表現することそれ自体が簡単ではなく、岩盤の硬さなどの表現も複雑である。たとえば、弾性波探査における結果解釈において、地下構造内を伝播する弾性波速度から、密度を仮定してヤング率やポアソン比を求ることはできるが、地下構造の性質をあらわすのにこれらの定数はあまり用いられず、弾性波速度による表現が主に用いられている。ヤング率およびポアソン比によつて表現すればむしろ煩雑になるようである。比抵抗によつて地下構造の性質を表現する試みはほとんど行なわれていない。しかし、比抵抗によつて間隙率を計算することはある程度可能で、たとえば等大球がもつとも疎に並んだ場合の間隙率は47.6%であり、この間隙が比抵抗  $\rho_w$  の水で満たされていれば、このときの全体の比抵抗は  $2.64 \rho_w$  である。さらに、等大球がもつとも密に並んだ場合の間隙率は25.9%であり、比抵抗は  $5.81 \rho_w$  となる。次に、もつとも簡単な関係式として、Sundbergの式

$$n = 3 \rho_w / \rho \quad \dots \dots \dots \quad (1)$$

がある。ただし、 $n$  は間隙率、 $\rho_w$  は現地の水の比抵抗、 $\rho$  は現地での比抵抗の測定値である。間隙

率は比抵抗の測定値に反比例する。このような地下構造の比抵抗分布において、爆破によつて地下構造内に変動がおこつた場合、簡単な表現を用いれば、

$$n_r = \frac{\rho_w}{\rho} \left( \frac{2 \rho_r}{\rho} + 1 \right) \dots \dots \dots (2), \quad \frac{n_r - n}{n} = \frac{2}{3} \cdot \frac{\rho_r - \rho}{\rho} \dots \dots \dots (3)$$

なる式が考えられる。たゞし、 $n_r$ は変動後の間隙率、 $\rho_r$ は変動後の比抵抗の測定値である。(3)式は、爆破によつて変動後の比抵抗 $\rho_r$ が小になつた場合には、圧縮されて間隙率 $n_r$ が小になつたことを意味し、また変動後の比抵抗が大になつた場合には、引張られて間隙率が大になつたことを意味する。岩盤の硬さなどの性質の表現の1つとして間隙率をとり、比抵抗との関係を説明した。弾性波探査法においても、間隙率と速度についての簡単な Wyllie の関係式がある。すなわち、

$$\frac{1}{V} = \frac{n}{V_w} + (1 - n) / V_m \dots \dots \dots (4)$$

である。たゞし、 $V_w$ は間隙を満たしている水の速度、 $V_m$ は岩石のみの速度、 $V$ は現地で測定された速度である。

#### 4. 爆破による地下構造の変動

爆破によつて地下構造内に変動が発生する場合には、

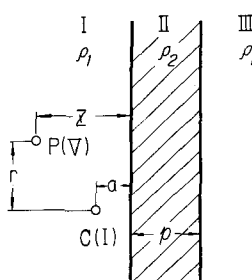
(1) 爆破振動が存在している間だけ変動が発生し、爆破振動がなくなれば、変動は爆破前の状態に復元する場合、と

(2) 爆破振動によつて発生した変動が、爆破振動がなくなつても爆破前の状態に復元しない場合、とがある。

(1)の復元する場合は一時的な過渡現象で、爆破の前後の定常状態においては比抵抗の変化はなく、地下構造には爆破の前後において変動があらわれない。これに対し(2)の復元しない場合には、爆破の前後の定常状態において比抵抗の変化が認められ、たとえば引張られて亀裂を生じた場合には比抵抗が大になり、当然間隙率も大になり、また圧縮された場合には比抵抗が小になり、当然間隙率も小になる。これら2種類の場合について、理論的には同一の式を用いて説明することができる。(1)の復元する場合においては、爆破振動が存在する間だけ媒質の比抵抗が階段的に変化するものと考えればよく、その媒質が爆破速度で移動する場合の連続した比抵抗の変化を解析すればよい。第1図はある瞬間ににおける測定電極 C および P と移動すると考えた媒質 II との関係を示している。また(2)の復元しない場合においては、たとえば第1図において、媒質 II の位置に亀裂が発生したと考えればよい。

第1図に

おいて、点



I がある場

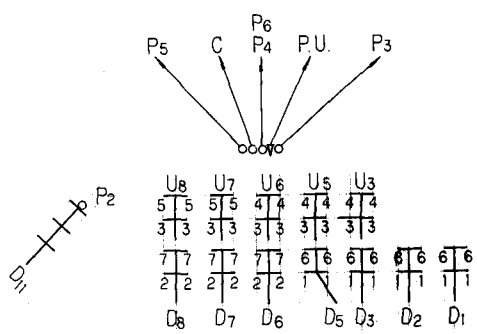
合の点 P の

電位 V から

比抵抗を計

算すれば、

第1図 振動波と測定電極配置図



第2図 電極配置見取図

$$\rho = \rho_1 \left[ \frac{1}{\sqrt{(1 - \frac{z}{a})^2 + (\frac{r}{a})^2}} + \frac{k_1}{\sqrt{(1 + \frac{z}{a})^2 + (\frac{r}{a})^2}} + k_1 k_2 k_3 \sum_{n=1}^{\infty} \frac{k_1^{-2(n-1)}}{\sqrt{(1 + \frac{z+n-2p}{a})^2 + (\frac{r}{a})^2}} \right] \dots \dots \dots (5)$$

となる。たゞし、 $k_1 = (\rho_2 - \rho_1) / (\rho_2 + \rho_1)$  ,  $k_2 = 2\rho_1 / (\rho_2 + \rho_1)$  ,  $k_3 = 2\rho_2 / (\rho_2 + \rho_1)$  である。

## 5. 長野ダムの測定結果

電源開発株式会社長野ダムで行なつた第1回目の197トン大発破の測定結果の一部について説明する。第2図は爆破地区の発破坑道と測定電極配置の見取図である。 $D_1 \sim D_8$ および $U_3 \sim U_8$ は第1回目の発破の発破坑道を示し、 $P_2 \sim P_6$ およびCは比抵抗測定用電極の位置で、P.U.は爆破振動を記録する受振器の位置である。なお $D_{11}$ は第2回目の発破坑道の1つである。発破の段数は7段で、第2図の発破坑道に記入されている数字が各薬室の発破段数を示す。

第3図は電極P<sub>3</sub>で測定した第1段目の発破の比抵抗の変化である。発破前の比抵抗を基準にしてあるが、230m.s.付近までが爆破振動の過渡的な現象であり、第1段目の発破後の比抵抗の定常値は、発破前の比抵抗に比して-45Ω·m程度の変化を示している。簡単に特長を説明する。(1)爆破振

動の立上りは岩盤が硬い

場合には急峻で、岩盤が  
軟い場合には緩慢である。

(2) 各薬室の電気雷管にバラシキがある場合には爆

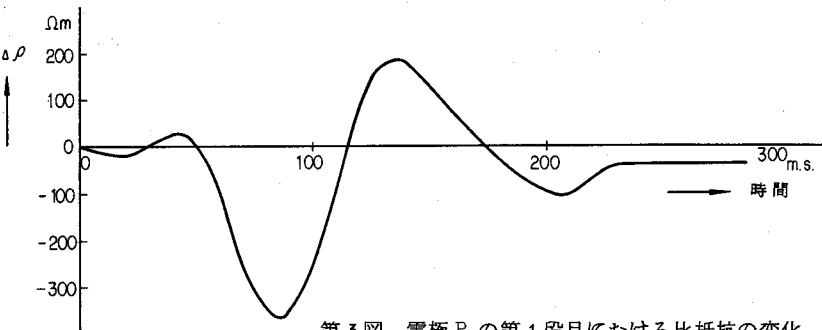
破振動の過渡的な変化は複雑になる。(3)爆破効果

の点からいえば、比抵抗  
が定常値のまゝで長く持

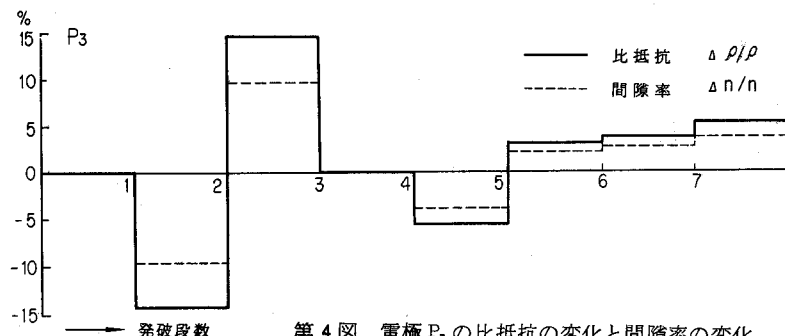
続することは望ましくない。

第4図では電極P<sub>3</sub>で測定した発破の各段ごとの

比抵抗の定常値の変化の割合を実線で示している。



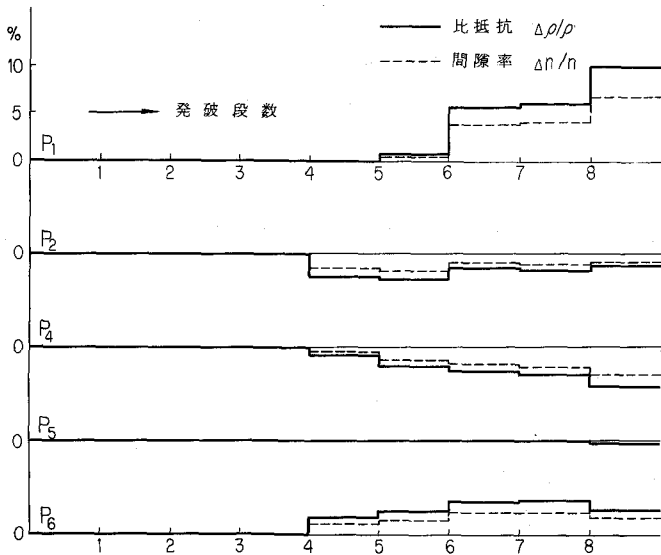
第3図 電極P<sub>3</sub>の第1段目における比抵抗の変化



第4図 電極P<sub>3</sub>の比抵抗の変化と間隙率の変化

たとえば横軸1と2の間が-14.4%で示されているが、この値は第1段目の発破が完了したあとの定常値の変化の発破前の比抵抗に対する割合をあらわしており、横軸2と3の間の値は第2段目の発破が完了したあとの定常値の変化の割合を示している。点線は(3)式から求めた間隙率の変化の割合である。簡単に特長を説明する。(1)地下構造内の媒質に作用する圧縮および引張りの現象が測定された。(2)第1段目の発破によって圧縮され、第2段目の発破で引張られ、第4段目の発破で再び圧縮され、第5段目で引張られ、結局亀裂が発生している。(3)第3図の各段の発破のそれぞれの爆破振動の過渡的な現象のほかに、各段ごとの定常値も周期的な変化を示している。

## 6. 木曾導水路トンネルの測定結果



第5図 比抵抗の変化と間隙率の変化

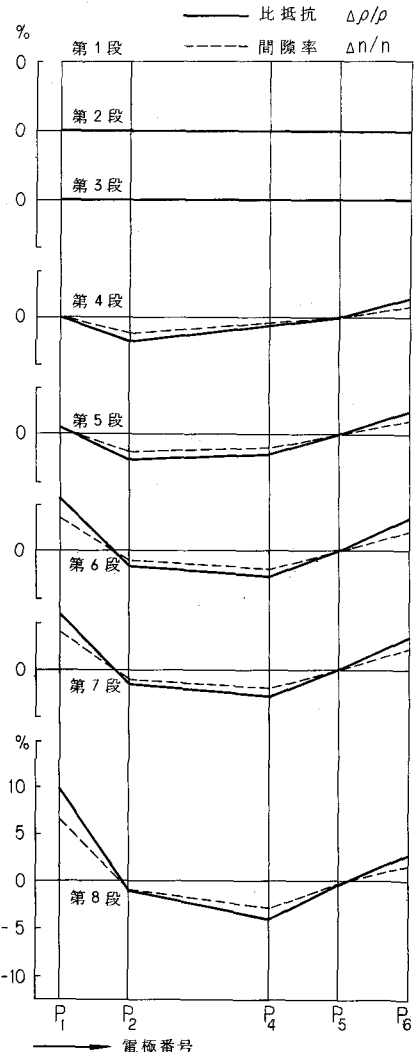
関西電力木曾発電所新説工事5号導水路トンネルで行なつた測定結果の一部について説明する。測定電極はトンネル掘削現場の側壁に高さ2.9mの位置に、掘進方向に45°の水平孔を穿孔し、側壁より奥に比抵抗測定用電極P<sub>1</sub> P<sub>2</sub> C P<sub>4</sub> P<sub>5</sub> P<sub>6</sub>を設置し、受振器は坑口の方向へ約50mのところに設置した。

第5図は各電極で測定した発破の各段ごとの比抵抗と間隙率の定常値の割合で、発破の段数はD S 8段である。簡単に特長を説明する。(1)第3段目の発破までは変化はない。(2)側壁に近いP<sub>1</sub>では第5段目の発破より引張られて段数が進むにつれて亀裂が発生している。(3)P<sub>2</sub>およびP<sub>4</sub>では第4段目の発破より圧縮されて、とくにP<sub>4</sub>では段数が進むにつれて大きくなっている。(4)P<sub>5</sub>では全体をとおしてほとんど変化はない。(5)P<sub>6</sub>では第4段目の発破より引張られて亀裂が発生している。

第6図は第5図と測定値は全く同じであるが電極位置を横軸にとつて表現した図である。簡単に特長を説明する。(1)第4段目の発破ではP<sub>1</sub>では変化はなく、P<sub>2</sub>では圧縮され、P<sub>5</sub>では変化はなく、P<sub>6</sub>では逆に引張られている。(2)第5段目以降の発破においても傾向は(1)と同様であるが、変化量が大きくなっている。(3)発破段数が進むにつれて最も強く圧縮されている位置が側壁より奥へ移動している。

## 7. 結 言

以上は爆破効果を解析する目的で昭和37年頃より検討していた爆破振動を電気的に測定する新しい方法によって得られた測定結果の一部で、他の測定結果および第2節(2)の爆破によつて発生した電磁波を利用して地下構造の変動を解析する方法については別の機会に発表する。この研究は京都大学谷口敬一郎助教授、入江恒爾講師、鹿島建設株式会社土木工務部・技術研究所の担当者および牛窓・木曾・新深沢・九頭龍川各出張所の担当者の絶大な援助を得た。こゝに謝意を表します。



第6図 比抵抗の変化と間隙率の変化

## Electrical Measurement for Rock Deformation and Rock Fracture by Blasting

Eizaburo YOSHIZUMI, Kyoto University

Chugoro SATO, Kajima Construction Co., Ltd.

In civil engineering, electrical prospecting methods are used in following problems: location of dam and reservoir sites, location of ground water, thickness of weathering layers, location of fault zones, tunnel construction and well logs.

In the present paper, a new electrical method to measure the deformation and the fracture of rocks produced by the blasting is proposed and explained in the cases of the Nagano Dam, Electric Power Development Co., Ltd. and the Kiso Tunnel, Kansai Electric Power Co., Ltd.

By a blasting, a high pressure compressive wave is produced and propagates through the earth structure surrounding the blasting point. By this wave the deformation and the fracture of the earth structure are generated and then the variation of the earth resistivity takes place. There are two kinds of the variation of the resistivity. One of these, known as the seismic electric effect, is the variation generated by the deformation only during the presence of the wave. The other one is the variation generated by the fracture which does not return to the initial earth structural condition.

The variation of the resistivity of the first kind is shown in Fig. 3. The variation of the resistivity of the second kind is shown in Figs. 4, 5 and 6.

The relations between the resistivity and porosity are shown in Eqs. (3) and (4).

This electrical method is very useful to investigate the blasting effects in civil engineering.